

О ВЫБОРЕ КОЭФФИЦИЕНТА ОБЕСПЕЧЕНИЯ ТОЧНОСТИ ПРИ МНОГОРАЗРЯДНОМ ПОСТРОЕНИИ ГЕОДЕЗИЧЕСКОГО ОБОСНОВАНИЯ МЕТОДОМ ТРИАНГУЛЯЦИИ

На крупных строительных объектах, при застройке больших жилых массивов и строительстве некоторых уникальных сооружений геодезическое обоснование может создаваться многоразрядными построениями. Качество априорной оценки точности таких построений в значительной степени определяется правильным выбором коэффициента понижения, или обеспечения точности [1]. В научно-технической геодезической литературе приводятся различные значения этого коэффициента — от 1,2 до 8,0. Вероятностное обоснование этого коэффициента выполнено в [2, 3], однако в практике проектирования инженерно-геодезических сетей интервал принимаемых для него значений довольно велик. Поэтому в настоящей работе ставится цель экспериментального определения оптимального значения коэффициента обеспечения точности k .

Для исследования составлена модель четырехразрядной сети, показанная на рисунке. Рассматриваемые многоразрядные построения представлены триангуляцией, в которой все треугольники за-проектированы равносторонними, длины их сторон соответственно по очередям построения составляют 4,7, 2,7, 1,6 и 0,9 км. Средние квадратические ошибки измерения угла соответствующих этапов построения согласно государственным инструкциям приняты равными $2''$, $5''$, $10''$ применительно к триангуляции 4 класса, I и II разрядов и $15''$ для съемочного обоснования. Исходными считаются пункты 1 и 2 с учетом безошибочности их положения.

Оценка точности принятой модели четырехразрядной сети произведена с учетом строгого уравнивания на ЭВМ ЕС-1022 по следующей схеме:

оценка точности I разряда;

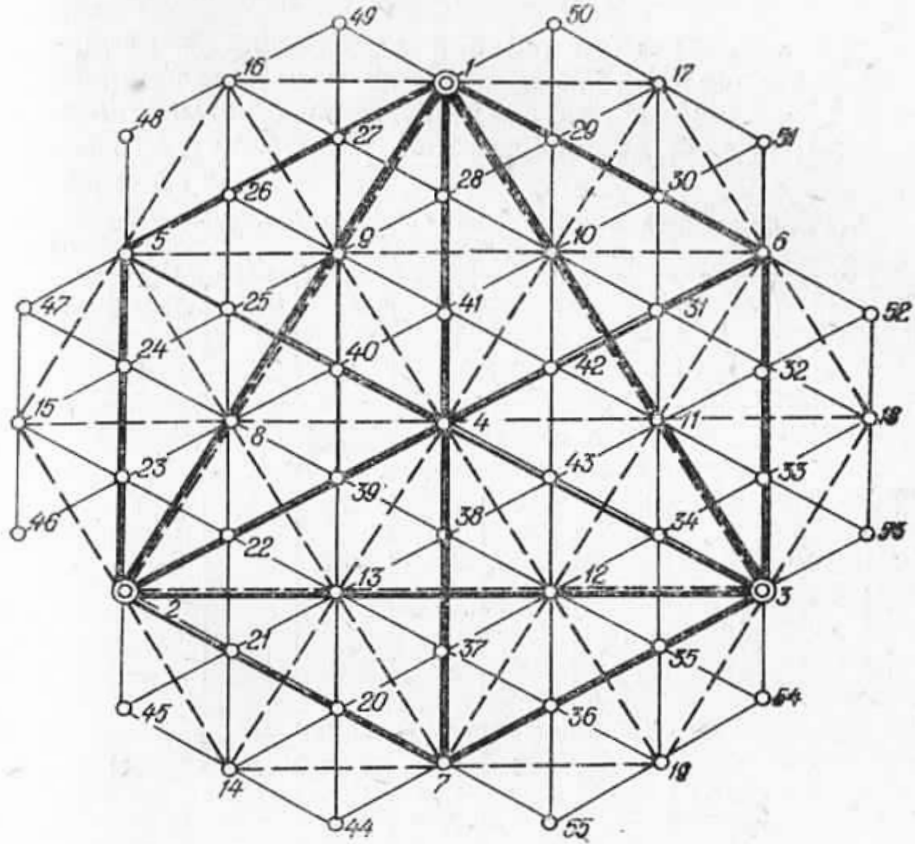
совместная оценка точности сетей I и II разрядов;

совместная оценка точности сетей I, II и III разрядов;

совместная оценка точности сетей I, II, III и IV разрядов.

При этом для каждого последующего разряда учитывали ошибки исходных данных пунктов предыдущих разрядов. Оценочные величины находили с помощью больших и малых полуосей эллипса ошибок и средних квадратических ошибок линий и их направлений.

Если m_0 — ошибки исходных пунктов 1 и 2, а μ — средняя квадратическая ошибка единицы веса, отождествляемая со сред-



Модель четырехразрядной сети:

— сеть I разряда; — сеть II разряда;
- - - сеть III разряда; - - сеть IV разряда.

Если квадратической ошибкой измерения угла соответствующего разряда, то корреляционная матрица примет вид

$$Q_0 = \frac{m_0^2}{\mu_1^2}. \quad (1)$$

С учетом (1) нормальная матрица

$$N_1 = N_0 + A_1^T A_1, \quad (2) \quad \text{где} \quad N_0 = Q_0^{-1}, \quad (3)$$

Для I разряда сети

$$Q_1 = N_1^{-1}; \quad (4) \quad K_1 = \mu_1 \sqrt{Q_1}; \quad (5) \quad V = \mu_1 G^T Q_1 G, \quad (6)$$

где K — ковариационная матрица; V, G — матрицы взаимного положения пунктов и весовых функций. При формировании новой корреляционной матрицы Q'_1 получаем

$$Q'_1 = K_1^2 / \mu_2^2 ; \quad (7) \quad (N_1)^{\mu_2} = Q_1^{-1} . \quad (8)$$

Тогда для II разряда сети

$$N_2 = N_1 + A_2^T A_2 ; \quad (9) \quad Q_2 = N_2^{-1} ; \quad (10) \quad K_2 = \mu_2 V \sqrt{Q_2} . \quad (11)$$

По аналогии находим матричные формулы для сетей последующих разрядов.

Процесс распределения ошибок для полуосей эллипса одноименных пунктов и ошибок положения и направления одноименных линий в различных разрядах сгущения фрагментно представлен в табл. 1, анализ данных которой показывает, что многократ-

Таблица 1

Распределение ошибок для одноименных элементов многоразрядной сети

| Разряд сети | Номера пунктов и направлений | I | II | III | IV | II I | III II | IV III |
|---|------------------------------|------|------|------|------|---------|-----------|-----------|
| 1. Полуоси эллипсов ошибок | | | | | | | | |
| 1.1. Большая полуось A , см | | | | | | | | |
| I | 3 | 5,30 | 4,76 | 1,85 | 1,78 | 0,90 | 0,39 | 0,96 |
| II | 5 | | 4,46 | 1,66 | 1,57 | | 0,38 | 0,95 |
| II | 6 | | 5,26 | 2,02 | 1,92 | | 0,38 | 0,95 |
| II | 7 | | 5,50 | 2,10 | 2,00 | | 0,38 | 0,95 |
| III | 14 | | | 5,18 | 3,86 | | | 0,74 |
| III | 16 | | | 5,08 | 3,68 | | | 0,72 |
| III | 18 | | | 5,23 | 3,80 | | | 0,73 |
| 1.2. Малая полуось B , см | | | | | | | | |
| I | 3 | 3,30 | 2,81 | 1,10 | 1,08 | 0,85 | 0,39 | 0,98 |
| II | 5 | | 3,80 | 1,45 | 1,38 | | 0,38 | 0,95 |
| II | 6 | | 4,40 | 1,69 | 1,61 | | 0,38 | 0,95 |
| II | 7 | | 4,43 | 1,69 | 1,59 | | 0,38 | 0,94 |
| III | 14 | | | 4,55 | 3,45 | | | 0,76 |
| III | 16 | | | 4,79 | 3,46 | | | 0,72 |
| III | 18 | | | 4,98 | 3,69 | | | 0,74 |
| 2. Средние квадратические ошибки измеренных направлений, с | | | | | | | | |
| I | 1—3 | 1,63 | 1,39 | 0,54 | 0,53 | 0,85 | 0,39 | 0,98 |
| I | 2—3 | 1,99 | 1,60 | 0,62 | 0,60 | 0,80 | 0,39 | 0,97 |
| II | 1—6 | | 3,37 | 1,29 | 1,23 | | 0,38 | 0,95 |
| II | 4—6 | | 3,16 | 1,22 | 1,17 | | 0,39 | 0,96 |
| III | 9—10 | | | 5,12 | 3,86 | | | 0,75 |
| III | 11—18 | | | 6,07 | 4,58 | | | 0,75 |
| 3. Средние квадратические относительные ошибки сторон (10^{-5}) | | | | | | | | |
| I | 2—3 | 0,94 | 1,14 | 2,91 | 3,02 | 0,82 | 0,39 | 0,96 |
| II | 4—6 | | 0,48 | 1,26 | 1,33 | | 0,38 | 0,95 |
| III | 11—18 | | | 0,27 | 0,37 | | | 0,71 |

ное сгущение сети повышает точность ее элементов, являющихся общими для каждого из рассматриваемых разрядов. Это можно объяснить существенным увеличением числа избыточных измерений и появлением дополнительных связей в рассматриваемых сетях сгущения. В графах 7, 8 и 9 табл. 1 вычислены соотношения рассматриваемых ошибок последующего $i+1$ разряда сети к i -предыдущему разряду. Функциональные связи этих соотношений свидетельствуют:

1. При поэтапной оценке точности одноименных элементов междуразрядные соотношения различных точностных параметров носят стабильный характер.

2. Если производится строгая оценка точности при уравнивании сначала I разряда сети, а затем I и II, I, II и III и I, II, III и IV разрядов сети, то во II разряде точность рассматриваемых элементов I разряда повышается на 10...20% относительно I разряда, в III — на 60% и в IV — на 2...4% относительно соответственно второй и третьей очередей построения.

3. Если оцениваются элементы II разряда обоснования, то по схеме оценки точности, указанной в п. 2, точность их при переходе к III, а затем при переходе от III разряда к IV возрастает соответственно на 60% и 3...5%. При рассмотрении точностных характеристик элементов III разряда точность их при совместном уравнивании всех четырех разрядов улучшается примерно на 24...29% по сравнению с уравниванием сети III разряда.

Вторая часть исследования заключалась в определении коэффициента обеспечения точности k для всех параметров четырехразрядной сети по результатам строгой оценки точности. Численные значения этого коэффициента находили как отношения точностных характеристик соответствующих элементов высших разрядов к низшим. Для этой цели была составлена так называемая матрица соотношений различных междуразрядных связей для оцениваемых параметров различных стадий построения сети. Указанная матрица, которая имеет вид

$$\begin{array}{cccc} \text{I—I} & \text{I—II} & \text{I—III} & \text{I—IV} \\ \text{II—I} & \text{II—II} & \text{II—III} & \text{II—IV} \\ \text{III—I} & \text{III—II} & \text{III—III} & \text{III—IV} \\ \text{IV—I} & \text{IV—II} & \text{IV—III} & \text{IV—IV}, \end{array}$$

состоит из отдельных блоков, массивы которых формировались средними квадратическими ошибками направлений и длин линий. Римские цифры, которые именуют блоки, обозначают номер разряда сети. Блоки, расположенные по диагонали матрицы, составляют направления и линии, обозначаемые пунктами одноименных разрядов; блоки, находящиеся выше диагонали, характеризуются массивами направлений, которые измерялись в триангуляции; блоки, лежащие ниже диагонали, формируют направления, которые в измерениях не участвовали, но оценивались по точности. Для более ясного представления образования блоков массивами приведем их выборочную расшифровку в табл. 2.

Фрагменты массива оцениваемых величин

Таблица 2

| Название блока | Название массива | Название блока | Название массива | Название блока | Название массива | Название блока | Название массива |
|----------------|----------------------|----------------|----------------------|----------------|-------------------------|----------------|-------------------------|
| I—I | 1—3 2—3 — | II—I | 1—7 2—6 3—5 | III—I | 3—10 2—16 1—18 | IV—I | 2—30 3—20 3—50 |
| II—II | 1—4 1—5 1—6 | II—II | 4—5 4—6 4—7 | III—II | 5—10 6—19 7—11 | IV—II | 5—42 6—44 7—53 |
| I—III | 1—16 2—15 3—18 | II—III | 5—15 6—11 7—19 | III—III | 8—15 10—17 12—19 | IV—III | 18—30 16—40 11—55 |
| I—IV | 1—28 2—22 3—53 | II—IV | 4—40 5—24 6—30 | III—IV | 10—30 14—45 19—55 | IV—IV | 20—44 29—30 40—41 |

Значения коэффициента обеспечения точности k определяем отношением точностных характеристик элементов рассматриваемого блока матрицы к соответствующим ошибкам элементов предыдущего (слева лежащего) блока. Таким же образом значения k выводились в диагональных блоках по соотношениям ошибок блока II—II к блоку I—I, блока III—III к блоку II—II, блока IV—IV к блоку III—III. Количество экспериментальных определений коэффициента k по блокам сведено в табл. 3, общее число этих определений составило 7136. Распределение этого количества соотношений ошибок согласно вычисленным значениям коэффициента обеспечения точности представлено в табл. 4.

Таблица 3

Количественный перечень определения значений коэффициента обеспечения точности

| Отношения ошибок | Кол-во | Отношения ошибок | Кол-во | Отношения ошибок | Кол-во |
|------------------|--------|------------------|--------|------------------|--------|
| I—II | 36 | II—IV | 570 | IV—III | 648 |
| I—I | | II—III | | IV—II | |
| I—III | 180 | III—II | 624 | IV—IV | 1230 |
| I—II | | III—I | | IV—III | |
| I—IV | 300 | III—III | 520 | II—II | 12 |
| I—III | | III—II | | I—I | |
| II—II | 18 | III—IV | 1320 | III—III | 66 |
| II—I | | III—III | | II—II | |
| II—III | 84 | IV—II | 648 | IV—IV | 880 |
| II—II | | IV—I | | III—III | |

Таблица 4

Распределение количества определений N коэффициента обеспечения точности k

| k | N |
|-----|-----|-----|-----|-----|-----|-----|-----|-----|-----|-----|-----|
| 1,0 | 254 | 1,6 | 717 | 2,2 | 194 | 2,8 | 140 | 3,4 | 37 | | |
| 1,1 | 458 | 1,7 | 353 | 2,3 | 209 | 2,9 | 104 | 3,5 | 23 | | |
| 1,2 | 523 | 1,8 | 437 | 2,4 | 312 | 3,0 | 36 | 3,6 | 19 | | |
| 1,3 | 712 | 1,9 | 244 | 2,5 | 129 | 3,1 | 54 | 3,7 | 8 | | |
| 1,4 | 587 | 2,0 | 270 | 2,6 | 127 | 3,2 | 47 | 3,8 | 4 | | |
| 1,5 | 723 | 2,1 | 258 | 2,7 | 114 | 3,3 | 15 | 3,9 | 11 | | |
| | | | | | | | | | | 4,0 | 17 |

нерно-геодезических сетей значения коэффициента обеспечения точности не должны быть больше 3.

2. В практике проектирования многоразрядных построений можно выбирать значения k 1,1...1,8, руководствуясь при этом экономическими соображениями.

3. При переходе от одного разряда обоснования к другому коэффициент обеспечения точности не является постоянной величиной.

В заключение отметим, что выполненные исследования не являются исчерпывающими, их следует продолжить применительно к инженерно-геодезическим сетям, различным по конструкции, соотношению точности и методам создания.

Список литературы: 1. Левчук Г. П., Новак В. Е., Конусов В. Г. Прикладная геодезия: Основные методы и принципы инженерно-геодезических работ. — М.: Недра, 1981. 2. Павлова Г. К. Об установлении критерия влияния ошибок исходных данных при создании планового геодезического обоснования в городах. — Изв. вузов. Геодезия и аэрофотосъемка, 1973, № 6. 3. Павлова Г. К. К вопросу об определении критерия влияния ошибок исходных данных в геодезических сетях. — Изв. вузов. Геодезия и аэрофотосъемка, 1978, № 2.